

Silizium-NPN-Epitaxial-Planar-HF-Transistor Silicon NPN Epitaxial Planar RF Transistor

Anwendungen: Allgemein und geregelte HF-Verstärkerstufen bis 100 MHz

Applications: General and controlled RF amplifier stages up to 100 MHz

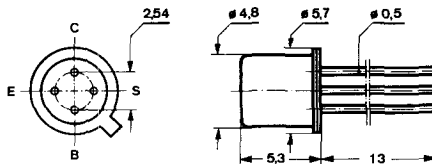
Besondere Merkmale:

- Rauschmaß 3,5 dB
- Mischrauschenmaß 2 dB

Features:

- Noise figure 3.5 dB
- Noise figure for mixer 2 dB

Abmessungen in mm
Dimensions in mm



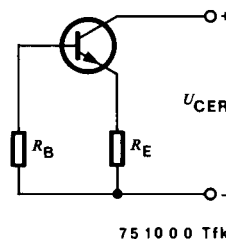
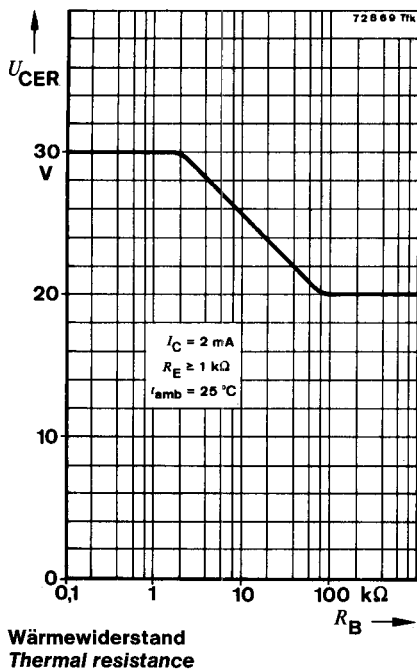
Anschluß „S“
mit Gehäuse verbunden
Terminal "S"
connected with case

Normgehäuse
Case
18 A 4 DIN 41876
JEDEC TO 72
Gewicht · Weight
max. 0,5 g

Absolute Grenzdaten
Absolute maximum ratings

Kollektor-Basis-Sperrspannung Collector-base voltage	U_{CBO}	30	V
Kollektor-Emitter-Sperrspannung Collector-emitter voltage	U_{CEO}	20	V
Emitter-Basis-Sperrspannung Emitter-base voltage	U_{EBO}	5	V
Kollektorstrom Collector current	I_C	30	mA
Basisstrom Base current	I_B	1	mA
Gesamtverlustleistung Total power dissipation $t_{amb} \leq 45^\circ\text{C}$	P_{tot}	145	mW
Sperrsichter Temperatur Junction temperature	t_j	175	°C
Lagerungstemperaturbereich Storage temperature range	t_{stg}	-55 ... +175	°C

BF 184



Min. **Typ.** **Max.**

900 °C/W

Statische Kenngrößen DC characteristics

$t_{\text{amb}} = 25^\circ\text{C}$

R_{th} |A

Kollektor-Basis-Durchbruchspannung Collector-base breakdown voltage

$$U_{\text{BEC}} = 30 \quad \text{V}$$

Collector-base breakdown voltage $V_{CB(BR)}$ 30 V

Kollektor-Emitter-Durchbruchspannung Collector-emitter breakdown voltage

H $\Delta = 30$ M

$I_C = 2 \text{ mA}$
Emitter-Basis-Durchbruchspannung
 $\approx 60 \text{ V}$ bei $I_E = 1 \text{ mA}$

v_{(BR)CEO}) = 20

$$I_E = 10 \mu\text{A}$$

Basis-Emitter-Spannung
Base-emitter voltage

(2.1), 222-3

Base-emitter voltage

U_{BE} 650 680 740 mV
 U_{DS} 1 V

Kollektor-Basis-Gleichstromverhältnis
DC forward current transfer ratio

BE)

DC forward current transfer

k-- 67 115 220

$$1) \frac{t_p}{\pi} = 0,01, t_p = 0,3 \text{ ms}$$

Dynamische Kenngrößen
AC characteristics

$t_{\text{amb}} = 25^\circ\text{C}$

Transitfrequenz

Gain bandwidth product

$U_{\text{CB}} = 10 \text{ V}, I_{\text{C}} = 1 \text{ mA}, f = 100 \text{ MHz}$

Min. Typ. Max.

f_T 260 MHz

Rückwirkungskapazität

Feedback capacitance

$U_{\text{CB}} = 10 \text{ V}, I_{\text{C}} = 1 \text{ mA}, f = 10,7 \text{ MHz}$

$C_{\text{üre}}$ 0,65 0,9 pF

Rauschmaß

Noise figure

$U_{\text{CB}} = 10 \text{ V}, I_{\text{C}} = 1 \text{ mA}, R_G = 300 \Omega,$
 $f = 200 \text{ kHz}$

F 1,45 dB

$U_{\text{CB}} = 10 \text{ V}, I_{\text{C}} = 1 \text{ mA}, R_G = 50 \Omega,$
 $f = 1 \text{ MHz}$

F 3,5 dB

Mischrauschaumaß

Noise figure for mixer

$U_{\text{CB}} = 10 \text{ V}, I_{\text{C}} = 1 \text{ mA}, R_G = 1670 \Omega,$
 $f = 200 \text{ kHz}$

F_C 3 dB

$U_{\text{CB}} = 10 \text{ V}, I_{\text{C}} = 1 \text{ mA}, R_G = 830 \Omega,$
 $f = 1 \text{ MHz}$

F_C 2 dB

Vierpol Kenngrößen
Two port characteristics

$t_{\text{amb}} = 25^\circ\text{C}$

Emitterschaltung
Common emitter configuration

$U_{\text{CB}} = 10 \text{ V}, I_{\text{C}} = 1 \text{ mA}, f = 0,45 \text{ MHz}$

Kurzschluß-Eingangssadmittanz
Short circuit input admittance

g_{ie} 0,35 mS
 C_{ie} 23 pF

Kurzschluß-Rückwärtssteilheit
Short circuit reverse transfer admittance

$\left| \begin{array}{c} y_{\text{re}} \\ -\varphi_{\text{re}} \end{array} \right|$ 1,8 μS
 90°

Kurzschluß-Vorwärtssteilheit
Short circuit forward transfer admittance

$\left| \begin{array}{c} y_{\text{fe}} \\ -\varphi_{\text{fe}} \end{array} \right|$ 35 mS
 $\approx 0^\circ$

Kurzschluß-Ausgangssadmittanz
Short circuit output admittance

g_{oe} 6 μS
 C_{oe} 1,45 pF

BF 184

Min. Typ. Max.

Emitterschaltung
Common emitter configuration

$$U_{CB} = 10 \text{ V}, I_C = 1 \text{ mA}, f = 10,7 \text{ MHz}$$

Kurzschluß-Eingangsdmittanz <i>Short circuit input admittance</i>	$\begin{array}{c c} g_{ie} \\ C_{ie} \end{array}$	0,45 23	mS pF
Kurzschluß-Rückwärtssteilheit <i>Short circuit reverse transfer admittance</i>	$\begin{array}{c c} y_{re} \\ -\varphi_{re} \end{array}$	44 90°	μS
Kurzschluß-Vorwärtssteilheit <i>Short circuit forward transfer admittance</i>	$\begin{array}{c c} y_{fe} \\ -\varphi_{fe} \end{array}$	35 5°	mS
Kurzschluß-Ausgangsdmittanz <i>Short circuit output admittance</i>	$\begin{array}{c c} g_{oe} \\ C_{oe} \end{array}$	8,5 1,5	μS pF

Emitterschaltung
Common emitter configuration

$$U_{CB} = 10 \text{ V}, I_C = 1 \text{ mA}, f = 35 \text{ MHz}$$

Kurzschluß-Eingangsdmittanz <i>Short circuit input admittance</i>	$\begin{array}{c c} g_{ie} \\ C_{ie} \end{array}$	0,85 19	mS pF
Kurzschluß-Rückwärtssteilheit <i>Short circuit reverse transfer admittance</i>	$\begin{array}{c c} y_{re} \\ -\varphi_{re} \end{array}$	140 90°	μS
Kurzschluß-Vorwärtssteilheit <i>Short circuit forward transfer admittance</i>	$\begin{array}{c c} y_{fe} \\ -\varphi_{fe} \end{array}$	34 16°	mS
Kurzschluß-Ausgangsdmittanz <i>Short circuit output admittance</i>	$\begin{array}{c c} g_{oe} \\ C_{oe} \end{array}$	11 1,5	μS pF

